

板と骨要素よりなる構造解析

住友重機械工業株式会社 北原俊男

1. まえがき

国内における橋梁の需要は道路網の整備および改良、高速道路網の延伸、本州四国の連絡等により増大の一途を辿っている。そして、要求される橋梁の中には河川、用地等の外的条件により、構造形状から望ましくないと判断される橋梁が生じても、そのまま架橋される場合がある。ここでは、望ましくない橋梁の一例をプレート・ガーダー橋梁について考えてみる。一般に、プレート・ガーダー橋梁の設計は棒理論による構造解析を行い、それに耐え得る断面構造を示方書の規定に従って決定するという方法で行われている。棒理論は各断面部材を軸線が代表できるものとして理論展開がなされているため、横断面の影響(横断面の変形、せん断ひずみ等)を考慮できぬ点に一つの欠点を持っているが、これに関する設計上の解決方法は示方書および各種文献の基による補正手法によって処理されている。しかし、skew 支承よりなる箱桁橋梁においては、支承近傍の構造要素の応力性状が棒理論では代表できなくなる。また、変形も微妙になり、棒理論による置換法が成立しなくなり、正しい評価もなされないまま望ましくない構造の一例となっている。このような問題を処理するためには各要素別に評価する解析手法による設計が要求されてくるが、実際の設計においては支承近傍の厳密な応力解析を放置したまま経験的補強法で処理しているのが現状である。

本研究では、このような箱桁構造の特殊問題を解決するために、箱構造を板要素と骨要素より構成される構造にモデル化されるものと仮定し、板要素の集合体を基本静定系として有限帯板要素法によって解析を行い、骨要素を不静定力として処理する方法を用いた。なお、板要素とはフランジ、ウェブのように一端から地端へと続いていく要素をいう。また骨要素とは軸力桁のことをいうが、ダイヤフラムも軸力桁に換算できるものと仮定して取り扱っている。本文は次の3点について述べる。

- 1) 有限帯板要素法および不静定骨要素の処理方法の概要
- 2) フーリエ級数展開項数と解の精度に関する一考察
- 3) 箱桁中間支承をskew支承にしたときの中間支点上の応力性状に関する考察

2. 解析手法の概要

2.1 解析上の仮定; 1) カとひずみの関係は線形である。2) 帯板要素内では平面保持の法則が保たれる。3) 帯板要素は長方形板であり、かつ一要素内では等厚である。4) 帯板要素の面内変形と面外変形の間には直交条件が保たれる。5) 直応力に関するpoisson's ratioの影響は考えないものとする。6) 各要素は等方性である。7) 端ダイヤフラムは剛であり、ダイヤフラム面内の変形を完全に拘束する。また端ダイヤフラム面外変形は自由である。8) 中間ダイヤフラムは骨要素よりなるかまたは骨要素に換算可能とする。

2.2 帯板要素の面内力と面内変位;

帯板要素の面内力と面内変位の間には次の境界条件が成立するものとする。(図-1参照)

$$W(x, y) = \sum_{m=1,2,\dots} \left[\left(1 - \frac{3x^2}{b^2} + \frac{2x^3}{b^3}\right) w_{2m} + \left(x - \frac{2x^2}{b} + \frac{x^3}{b^2}\right) \theta_{2m} + \left(\frac{3x^2}{b^2} - \frac{2x^3}{b^3}\right) w_{3m} + \left(\frac{x^2}{b^2} - \frac{x^3}{b^3}\right) \theta_{3m} \right] \sin k_m y \quad (12)$$

面外力 M_y, M_{zy} は本論においては無視する。(13)式を用いて面外力に関する全エネルギーを求め、面内の場合同様に最少エネルギー原理を適用するならば、次式のようになる。

$$\begin{pmatrix} \frac{12EI}{b^3} \\ \frac{6EI}{b^2} & \frac{4EI}{b} \\ -\frac{12EI}{b^3} & -\frac{6EI}{b^2} & \frac{12EI}{b^2} \\ \frac{6EI}{b^2} & \frac{2EI}{b} & -\frac{6EI}{b^2} & \frac{4EI}{b} \end{pmatrix} \begin{pmatrix} w_{2m} \\ \theta_{2m} \\ w_{3m} \\ \theta_{3m} \end{pmatrix} - \begin{pmatrix} W_{2m} \\ M_{2m} \\ W_{3m} \\ M_{3m} \end{pmatrix} = 0 \quad (13)$$

2.4 基本静定系の力と変位；(9)と(15)を用いて帯板要素の力と変位の関係を次式のように表わすことができる。

$$F_m = \{ U_{2m} \ V_{2m} \ W_{2m} \ M_{2m} \ U_{3m} \ V_{3m} \ W_{3m} \ M_{3m} \}^T \quad (14)$$

$$\delta_m = \{ u_{2m} \ v_{2m} \ w_{2m} \ \theta_{2m} \ u_{3m} \ v_{3m} \ w_{3m} \ \theta_{3m} \}^T \quad (15)$$

$$F_m = S_m \cdot \delta_m \quad (16)$$

次に基本静定系の力と変位の関係を考えるならば全体座標系を (X, Y, Z) で表わし、帯板要素座標系を (x', y', z') で表わすと次式のようになる。但し、 R は座標変換テンソル

$$F_m = R F_m' \quad (17)$$

$$\delta_m = R^T \delta_m' \quad (18)$$

2.5 隔壁の骨部枝への換算；パイやフラムが隔壁より厚く、あるいは場合は右図のような置換が可能なものとする。枝から骨への換算式は次式で求める。

長方形の場合

$$A_b = \frac{G t L_b}{2 E h_p} \quad (19)$$

台形の場合

$$A_b = \frac{G t h^2}{E(a+b)} \left\{ 1 + \left(\frac{a+b}{2h} \right)^2 \right\} \quad (20)$$

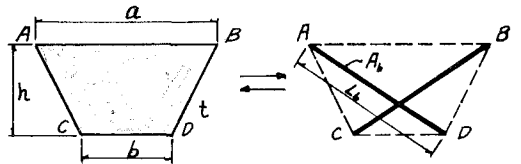


図-2 隔壁と骨要素の関係

A_b ；換算骨部枝の断面積

A_p ；隔壁の面積

L_b ；換算骨部枝の部枝長

t ；隔壁の板厚

2.6 不静定力の処理；不静定力は変形の釣り合いから求める。 γ 個の不静定力に対しては γ 元の連立方程式を解くことになり、次のような一般式によって表わされる。

$$\delta_{m0} + \sum_{l=1}^{\gamma} X_l \delta_{ml} - X_m \delta_{mm} = 0 \quad (21)$$

δ_{m0} ；基本静定系に外力を作用させたとき、 m 不静定部枝点の部枝方向の変位量

δ_{ml} ；基本静定系の l 不静定部枝点に l 部枝方向の単位不静定力 $X_l=1$ が作用したときの m 不静定部枝点の部枝方向の変位量

δ_{mm} ；基本静定系の m 不静定部枝点に m 部枝方向の単位不静定力 $X_m=1$ が作用したときの m 部

支点の部材方向の変位量

X_m ; 不静定部材力

すなわち、中間支点の支点反力は不静定部材同様に不静定外力として取り扱う。

3. 級数展開項数と精度について

フーリエ級数の応用の基に解を求める手法は厳密解が求まらぬ場合によく用いられる。本論における、有限帯校要素法の一つの特長は構造を帯校要素に分割して、個々の要素の変位と力の関係をフーリエ級数を用いて確立し、そのときの係数を各要素間で連続させて解く点にある。そこで、以下にフーリエ級数について項数と精度という点からホローしてみる。

フーリエ級数を応用して解を得ようとする場合、級数項は1から無限まで展開して、それを集合するならば、厳密解が得られるであろう。しかし、実際においては利用者が適当と判断するN項まで展開し、それを解として用いる場合が多い。このようにして求めた解の評価は、厳密解とN項までの解との差がN+1項から無限項までの集合で求められるため、級数展開以外で厳密解が得られない場合においてはかなり困難な問題である。また、三角函数の応用であり、波形を応用している関係上着目している解はある項数以上まで展開するならば未知な厳密解を中心に振幅するだろうから、その振幅の量が判断すること一つの方法であるが、实用性に乏しいと思われる。そこで今回は外力がより正しく評価されるならば、解析手法の特長からその解は相似的に厳密解に近づくものと仮定されると思うから単純梁に外力を作用させて、フーリエ級数の応用の基に曲げモーメント、せん断力を求め、橋理論の解と比較し適用構造物の解の評価の基準にすることを試みた。

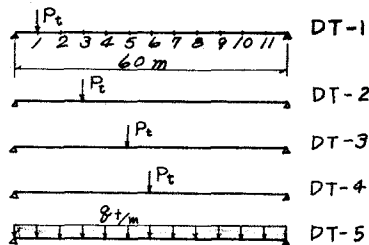


図-3 荷重ケース

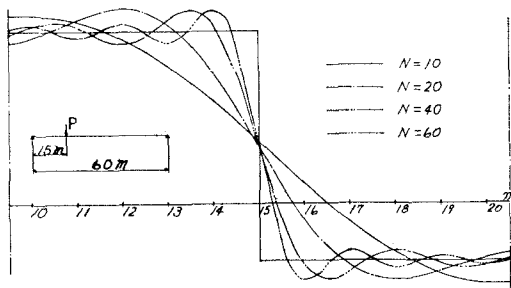


図-5 せん断力図

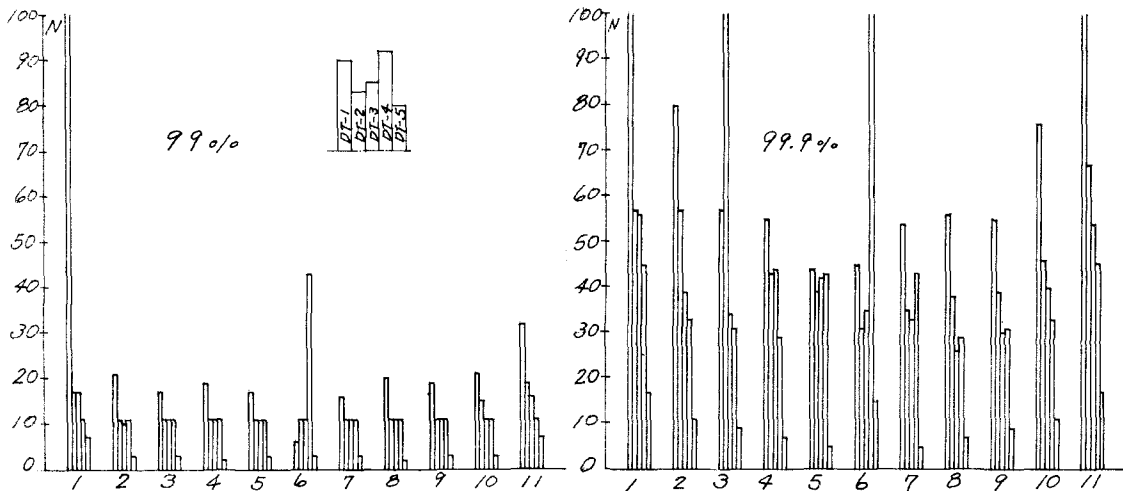


図-4 展開項数と曲げモーメントの精度

図-3は今回計算した単純梁と荷重ケースを示したものである。この各荷重ケースに対して、曲げモーメントにおいて99%の精度を得るためには何項まで展開すればよいか梁の12等分点について示したのが図-4(a)である。同様に99.9%の精度を得るためには何項まで展開すればよいか示したものが図-4(b)である。この結果より、集中荷重の場合99%の精度を要求するならば、スパン長(m単位)の $l/4$ 程度の項まで展開すれば局部的には不十分でも平均としては満足されることがわかった。また、99.9%の精度を要求するならば $2l/3$ 項以上展開する必要があることが明らかになった。

なお、等分布荷重に対しては図中 $N=2N'-1$ (N' :実際の展開項数)と表わしたので99.9%の精度の要求にも10項以下の展開で得られることがわかった。図-5には集中荷重作用時のせん断力の分布状態を示したが60mの梁に対して、60項まで展開しても棒理論の解とほとんど近づかないことがわかった。しかし、せん断力の構造要素に対する伝達状態については棒理論で表わせない点があるのが構造全体にどのように影響するか曲げモーメントとは性質が異なるのでさらに検討中である。

次に、重ね合せの誤差について検討する。個々の厳密解 A_1, A_2, \dots がわかっている、近似解群によって、 d_1, d_2, \dots ($d_1 > d_2 > d_3 > \dots$)の誤差内の解が得られれば、重ね合せの結果生ずる誤差は次のようになる。

$$d_0 = \frac{(1-d_1)A_1 + (1-d_2)A_2 + \dots}{A_1 + A_2 + A_3 + \dots} < d_1 \quad \bar{\alpha}_0 = \frac{-(1-d_1)A_1 + (1-d_2)A_2 + (1-d_3)A_3 + \dots}{-A_1 + A_2 + A_3 + A_4 + \dots} > d_1$$

d_0 は A_1, A_2, \dots が独立関数であるとき生ずる誤差である。 $\bar{\alpha}_0$ は $A_1(A_2, A_3, \dots)$ のように関数関係にあるとき生ずる誤差である。中間支点曲げモーメントには $\bar{\alpha}_0$ の誤差が生ずるので、注意すべきである。

4. 中間支系の応力性状について

図-6には今回検討した開断面箱桁のTc-1からTc-5までの長手方向の基本寸法および構造形状を示した。図-7には開断面箱桁の断面構成と有限帯要素分割図を示した。図-8には偏載等分布荷重 $2t/m$ とおもり等分布 $2.5t/m$ および等分布荷重 $2t/m$ の各載荷状態に対するTC-1の中間支系上の直応力分布を示した。(a),(c)図において、フランジ端(ウェブ上下端)に応力の集中する原因はせん断変形に影響される点が大きいのと思われる。また、集中度は示方書等に用いられている文献より、かなり大きいようであることおよび上・下フランジで集中度の異なり、ということがわかった。

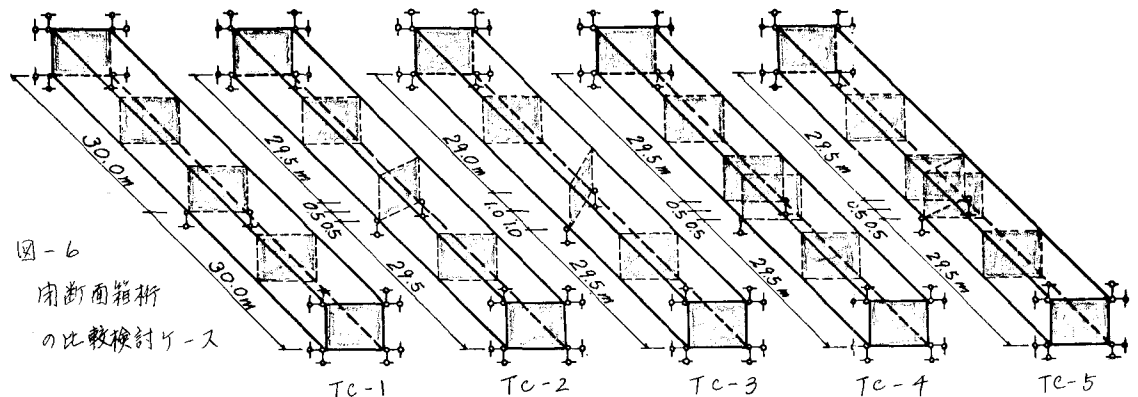


図-6
開断面箱桁
の比較検討ケース

図-9にはTc-1から中間支点をTc-2, Tc-3と変化させた影響が支点直上のフランジ端応力などのように現われるか検討したものである。図中、 $\frac{\sigma}{\sigma_1}$ はTc-1に対するTc-2, Tc-3の応力比を表わし、 $\frac{\sigma}{\sigma_{平均}}$ はTc-1におけるフランジ平均応力に対するTc-1, Tc-2およびTc-3の応力比を表わしている。この結果より、Tc-1の値を基準にするならば上フランジ端により応力増加が現われること、すなわちskewになった場合のフランジ端の応力増加は上フランジの方が激しいことがわかった。また、平均応力を基準にするならば、Tc-1の下フランジ端応力集中がTc-2, Tc-3にも加算される傾向にあるので、見かけ上かなり激しい応力の増加が現われることが明らかになった。

図-10には、Tc-2, Tc-4, Tc-5の中間支点上横断面の応力分布を比較したものである。この結果より、Tc-4, Tc-5にかたまりの応力変化が見られるが、これは隔壁の変形を拘束しにため、その現象が表われ、そのときのその拘束による応力の卓越に起因するものと判断できよう。このように中間支点をskewにした場合、Tc-4, Tc-5のように補強することは構造をより強固にしているが、逆に応力面からは支点上におい激しい応力変化が表われることが明らかになったので、両者の相関性を十分考慮して設計を行う必要があることがわかった。

図-11には、Tc-1に等分布荷重を載荷したときのフーリエ級数展開項をN=20の場合とN=60の場合の中間支点上の応力分布を比較した。また前記に $\bar{\sigma}$ の誤差はN=20のとき89.8%, N=60のとき96.4%であった。これらの結果より判断するならば、 $\bar{\sigma}$ の差による直応力の差はN項とせん断力分布の関係も含めて考えると、せん断変形のより正しい評価により、

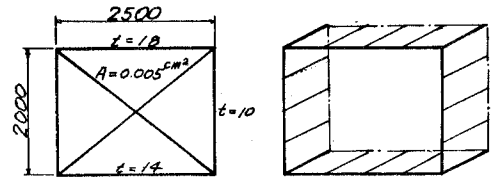


図-7 横断面と帯板要素

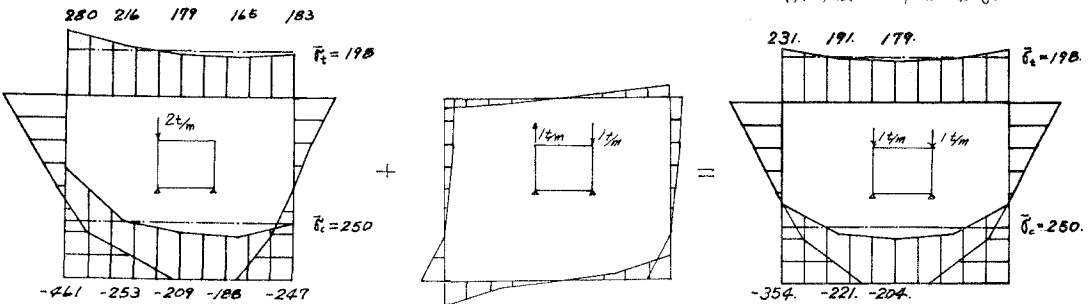


図-8 中間支点上の直応力分布 (Tc-1)

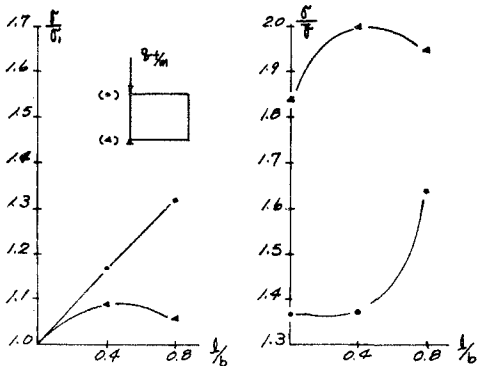


図-9(a) 直応力比 (Tc-2:Tc-1 or Tc-2:Tc-1)

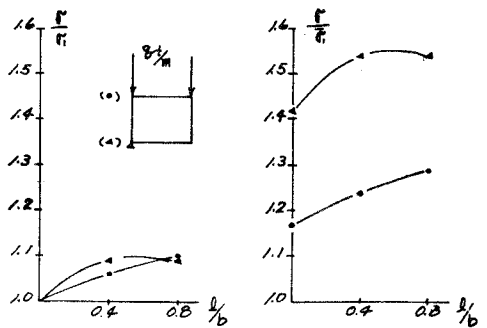


図-9(b) 直応力比

フランジ端に集中する傾向があると考えられる。

中間支点上の力は不静力として有限帯板要素法より求めたが、構理論で求めた値に対して99.5%であったことを付記する。

図-12には今回検討した開断面箱桁のT0-1からT0-3までの長手方向の基本寸法および構造形状を示した。図-13には開断面箱桁の断面構成と有限帯板要素分割図を示した。図-14には偏載等分布荷重 2 t/m とねじり等分布荷重 2.5 t/m および等分布荷重 2 t/m の各载荷状態に対するT0-1の中間支承工の直応力分布を示した。(a),(b)図において、図-8と比較するとマウエブ端に現われる応力は開断面の場合の方が大きい。これはせん断流の違いに起因するものと判断してよいであろう。(c)においては図-8でも明らかになったが、せん断変形の影響により応力集中率が示方書に用いられている文献より大きいことがわかった。

図-15は、図-14と同様の荷重ケースに対してT0-2とT0-3の中間支点上の直応力分布を比較検討したものである。図-14と図-15(c)においてT0-1からT0-2へと中間支点が変化した場合のマウエブ上下端の直応力増加率は上フランジで1.11、下フランジで1.01であった。このことより中間支点をskewにした場合、上フランジに対しては開断面箱桁同様の応力増加傾向を示すが、下フランジにはほとんど変化のないことがわかった。図-15(c)における比較検討においては応力性状における開断面箱桁の場合と全く逆の傾向を示すことがわかった。この原因は偏載荷重状態図-15(a)とねじり荷重状態(b)の組み合わせにより等分布荷重状態(c)が求められる点に留意するならばT0-3タイプの隔壁は偏載等分布荷重には有効に働くが、等分布荷重には働きすぎるため応力性状を逆転させていると判断できる。なおこの点は開断面同様設計では十分注意すべきであろう。

図-16にはT0-1に等分布荷重を載荷したときのフーリエ級数展開項を $N=30$ の場合と $N=60$ の場合の中間支点上の応力分布を示した。この結果は開断面箱桁の性状とはほぼ同一の傾向と判断してよい

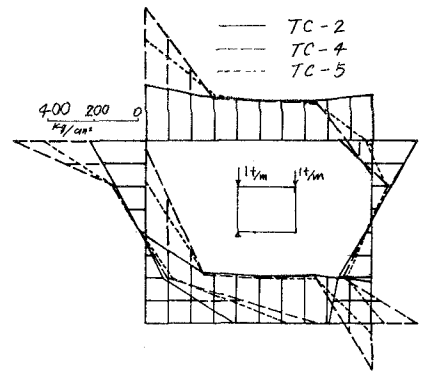


図-10 中間支点上直応力比較

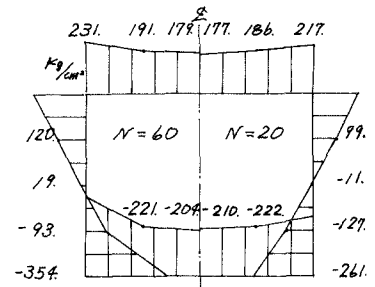


図-11 Nと応力値の関係

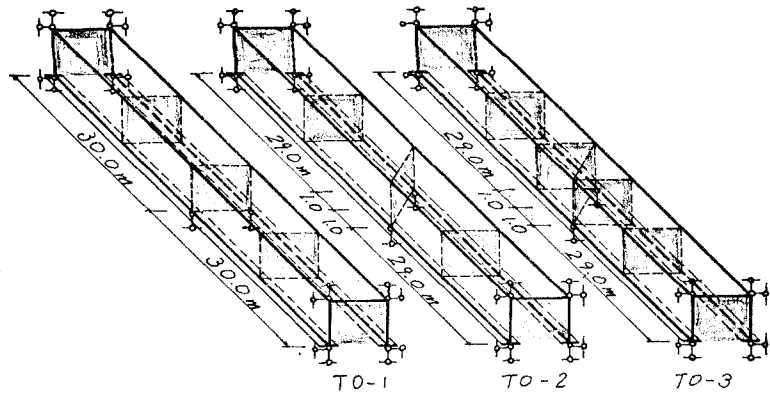


図-12 開断面箱桁の比較検討ケース

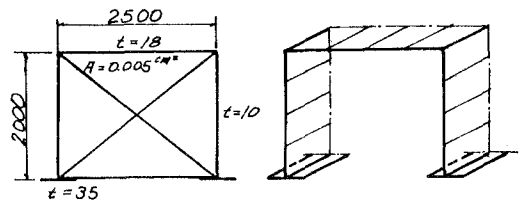


図-13 横断面と帯板要素

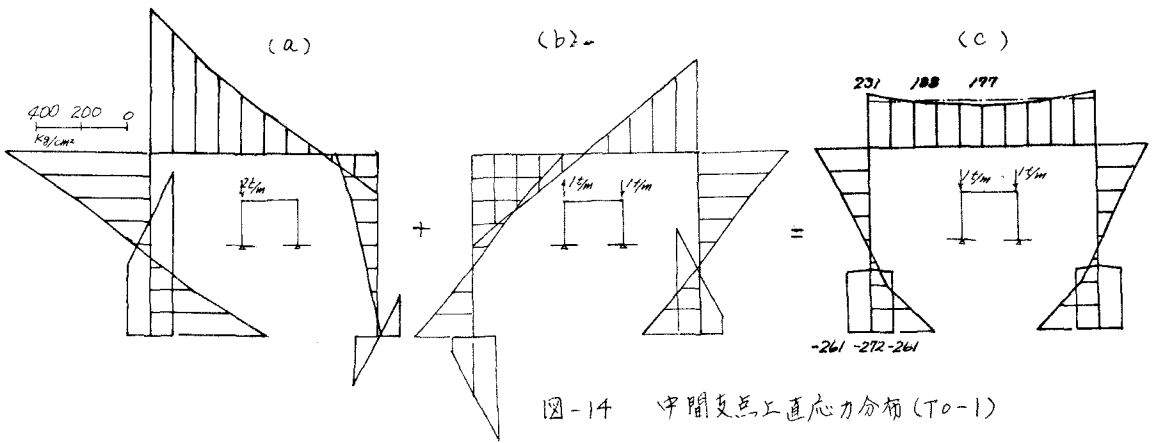


図-14 中間支点上直応力分布(T0-1)

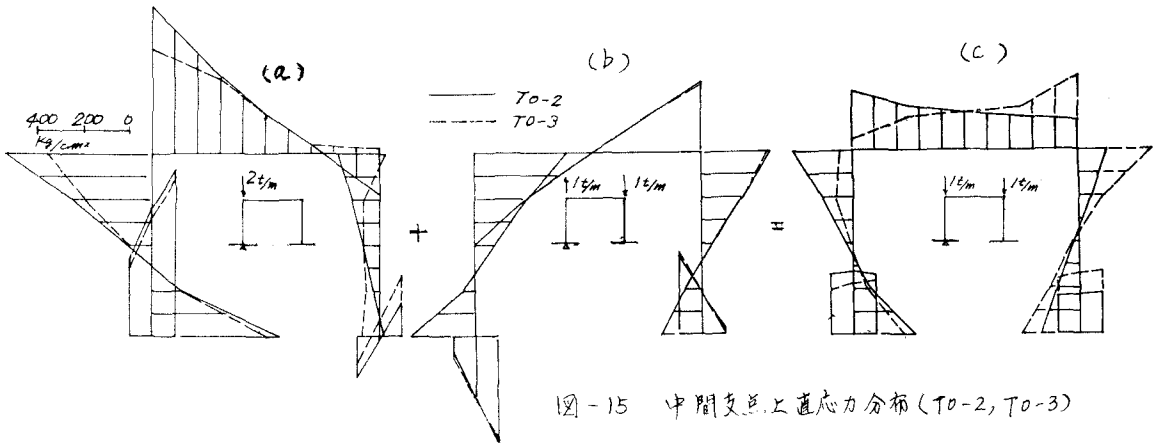


図-15 中間支点上直応力分布(T0-2, T0-3)

であらう。

5. おまけ

本論は有限帯校要法への応用の基に中間支点部の応力状態の検討を行ったが、その結果以下のようなことが明らかになった。

- 1). 中間支点を skew にした場合上フランジに skew=0 の応力値より増加する傾向がわかった。この結果は設計に利用できるかと判断している。
- 2). skew 支点部の構造の補強は特に開断面の場合注意し得いと応力集中をさげる結果になることがわかった。
- 3). セン断わくれ現象も本解法においては考慮でき、有効中が比較的簡単に検討できる。
- 4). 本解法はフーリエ級数項をある項数以上まで展開すれば中間支点という境界部でも十分利用できる。

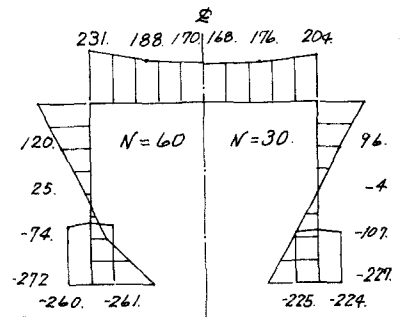


図-16 N と応力値の関係

また、本論においてはせん断力の性状分析、隔壁材の抵抗状態およびねみ等に関する検討は省略し、発表当日までには整理しき追加したいと思っている。